

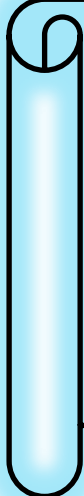
كلية العلوم

القسم : الكيمياء

السنة : الرابعة



١



المادة : سطوح و حفر

المحاضرة : السابعة /نظري/

{{{ A to Z مكتبة }}}}

Maktabat A to Z Facebook Group

كلية العلوم ، كلية الصيدلة ، الهندسة التقنية ، تكنولوجيا المعلومات والاتصالات

يمكنكم طلب المحاضرات برسالة نصية (SMS) أو عبر (What's app-Telegram) على الرقم 0931497960





مقرر السطوح والحفز  
السنة الرابعة-المحاضرة السابعة  
د: مروة رياح

جامعة طرابلس  
كلية العلوم  
قسم الكيمياء

### 5-3: نظرية لانغموير-الامتاز أحادي الطبقة المتموضع: Langmuir Theory

ذكرنا أن معالجة الامتاز متوازي الدرجة في الجمل صلب/غاز يتطلب معرفة عدد الجزيئات اللازمة لإكمال الطبقة الأحادية على سطح الصلب،  $Z_m$ ، ومنها يمكن حساب سعة الطبقة الأحادية،  $x_m$  (ccSTP/g)، ومن ثم المساحة السطحية النوعية للجسم الماز،  $S$  ( $m^2/g$ ). هناك عدة طرائق لتعيين سعة الطبقة الأحادية ولكننا سنكتفي هنا بشرح أهم نظريتين تستخدمان لهذا الغرض، وهما نظرية لانغموير للامتاز أحادي الطبقة ونظرية BET من أجل الامتاز متعدد الطبقات.

تقوم معالجة لانغموير على الفرضيات التالية:

- (1) إن سطح الصلب عبارة عن صفوف أو مجموعات مرتبة من المراكز الامتازية، وكل مركز امتاري قادر على امتاز جزيئة واحدة فقط.
- (2) عندما تصدم جزيئة غازية مركزاً امتارياً فارغاً فإنها ستتكافف عليه، وتبقى لمدة من الزمن  $\tau$  (زمن الإقامة) ومن ثم ستبتخر، وهنا سيكون الامتاز متوضعاً بصورة مثالية.
- (3) إن السطح متجانس طاقياً، أي إن جميع المراكز الامتازية لها القوة الامتازية ذاتها.
- (4) ليس هناك تأثيرات متبادلة بين الجزيئات الممتزة، أي التأثيرات الجانبية مهملة.
- (5) هناك توازن ديناميكي بين الجزيئات الممتزة والمبتخرة، أي إن عدد الجزيئات الممتزة على واحدة المساحة خلال ثانية.

بداءً من هذه الفرضيات استطاع لانغموير استنتاج علاقته الشهيرة كما يلي: إن عدد الجزيئات التي تصل من الطور الغازي إلى واحدة المساحة من سطح الماز في ثانية واحدة، أي تواتر الصدم مع الجدار، يعطى وفقاً للنظرية الحركية للغازات بالعلاقة التالية:

$$Z_w = \frac{L}{(2\pi MRT)^{1/2}} P$$

حيث تمثل  $L$  عدد أفراغادرو و  $M$  الكتلة الجزيئية للغاز الممتز و  $T$  درجة حرارة الامتاز و  $P$  الضغط التوازني. فإذا كان  $\theta_0$  الكسر من السطح المعرض للجزيئات الغازية، أي الجزء العاري أو غير المشغول، فإن معدل التكاثف أو عدد الجزيئات التي تتكاثف على واحدة المساحة وفي ثانية يكون:

$$n_1 = \frac{L}{(2\pi MRT)^{1/2}} Pa_1 \theta_0 = KPa_1 \theta_0 \quad (11-3)$$

حيث تمثل  $a_1$  معامل التكثيف، وقد أدخل لبيّن أنّ هناك بعض الجزيئات الصادمة للسطح وليس كلها ستنكاثف في مركز امتراري فارغ، وفرضه لانغموير مساوياً للواحد.

من أجل العملية المعاكسة، أي التبخير والتي تكون أصلاً مهيجة، حيث إنَّ الجزيئة الممتزة تحتاج إلى طاقة من السطح قدرها  $E_1$  حتى تستطيع التغلب على قوى التجاذب السطحية لكي تترك السطح، وبما أنَّ الجزيئة الممتزة في حالة اهتزاز عمودي على السطح بتواتر قدره  $v_1$  ولا يمكنها التبخير إلا إذا وصلت إلى الحالة الحرجة، فإنَّ احتمالية تبخير الجزيئة سيكون  $\exp(-E_1/RT)$ ، حيث تمثل  $E_1$  طاقة الامترار من الطبقة الأولى، وهكذا يكون عدد الجزيئات المتخارجة من مركز امتراري معين في ثانية واحدة هو  $(Z_m \theta) v_1 \exp(-E_1/RT)$ ، وبما أنَّ عدد الجزيئات في المراكز المشغولة يساوي  $Z_m \theta$ ، حيث تمثل  $Z_m$  عدد الجزيئات الممتزة في طبقة مماثلة تماماً أو عدد المراكز الامترارية الكلية في واحدة المساحة، و  $\theta$  الكسر المشغول من السطح، فإنَّ عدد الجزيئات المتخارجة في ثانية واحدة من واحدة المساحة يساوي:

$$n_2 = Z_m \theta v_1 \exp(-E_1/RT) \quad (12-3)$$

وعند التوازن يكون  $n_1 = n_2$ ، أي إنَّ:

$$K_p a_1 \theta_0 = Z_m \theta v_1 \exp(-E_1/RT) \quad (13-3)$$

وحيث إنَّ  $\theta_0 = 1 - \theta$  فإنَّ العلاقة السابقة تؤول إلى ما يلي:

$$K_p a_1 (1 - \theta) = Z_m \theta v_1 \exp(-E_1/RT) \quad (14-3)$$

ويعزل  $\theta$  وبعد الأخذ  $a_1 = 1$  نحصل على العلاقة التالية:

$$\theta = \frac{KP}{KP + Z_m v_1 \exp(-E_1/RT)} = \frac{BP}{1 + BP} \quad (15-3)$$

حيث يعرف  $B$  بثابت لانغموير ويساوي إلى:

$$B = \frac{K}{Z_m v_1 \exp(-E_1/RT)} = B_o e^{E_1/RT} \quad (16-3)$$

ولكن الكسر المغطى من السطح،  $\theta$ ، يساوي النسبة بين عدد الجزيئات الكلية إلى عدد الجزيئات الممتزة في الطبقة الأحادية المماثلة تماماً، وهذه بدورها تساوي النسبة بين حجم أو كمية الغاز الممتز/حجم أو كمية الغاز الممتز في الطبقة الأحادية، أي إنَّ:

$$\theta = Z/Z_m = V/V_m = x/x_m \quad (17-3)$$

إذا أشرنا إلى الامترار بالنسبة إلى كثافة مقدارها  $g$  من الصلب فإنَّ  $V_m$  أو  $x_m$  تدعى بسعة الطبقة الأحادية (monolayer capacity)، وتؤول العلاقة (15-3) إلى الشكل التالي:

$$\frac{x}{x_m} = \frac{BP}{1 + BP} \Rightarrow x = \frac{x_m BP}{1 + BP} \quad (18-3)$$

تمثل هذه العلاقة امترار لانغموير متساوي الدرجة أو علاقة لانغموير الامترارية.

يتضح من هذه العلاقة أنه عند الضغوط المنخفضة يكون  $1 \sim 1 + BP$ ، وتؤول العلاقة (18-3) إلى

ما يلي:

$$x \approx x_m BP \quad (19-3)$$

وما هذه العلاقة إلا أحد أشكال علاقة هنري (Henry's Law)، والتي تمثل علاقة خطية تمر من المبدأ، أي إن الامتاز يتناسب طرداً مع الضغط. أما عند الضغوط المرتفعة فإن  $P = K\theta$ ، وتحول العلاقة (18-3) إلى ما يلي:

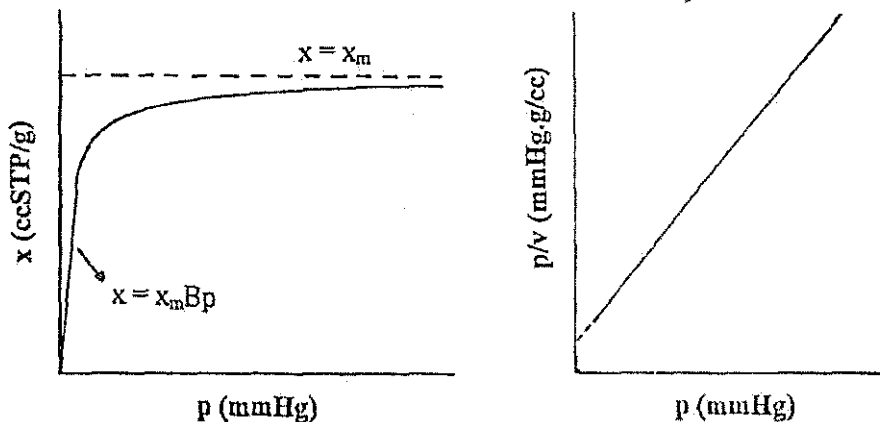
$$x \approx x_m \quad (20-3)$$

أي إن الامتاز عند الضغوط العالية يميل إلى القيمة الحدية  $x_m$ ، سعة الطبقة الأحادية، ويكون منحنى الامتاز موازٍ لمحور الضغوط، كما يُبيّن الشكل (8-3)، وهكذا فإن علاقه لانغمصير يمكن أن تمثل منحني الامتاز من النوع I أو النموذج اللانغمصيري.

لاختبار صحة علاقه لانغمصيري مع البيانات الامتازية التجريبية تحول العلاقة (18-3) إلى الشكل الخطى، وذلك بقلبها وضرب الطرفين بـ  $P$ ، فنحصل على ما يلى:

$$\frac{P}{x} = \frac{1}{x_m B} + \frac{P}{x_m} \quad (21-3)$$

فإذا رسمنا  $P/x$  بدلاً من  $P$  فإننا نحصل على خط مستقيم ميله  $m = 1/x_m$  وتقاطعه مع المحور هو  $i = 1/Bx_m$ ، ومن الميل والتقاطع يمكن حساب  $x_m$  و  $B$ . أثبتت التجربة أن معظم البيانات الامتازية لجمل مختلفة وخاصة في حالة الأجسام المازة الميكرومسامية والتي تبدي منحنيات امتاز من النموذج I تتبع علاقه لانغمصيري بشكل مرضٍ.



الشكل (8-3) يمثل منحنى الامتاز اللانغمصيري والرسومات الخطية لها.

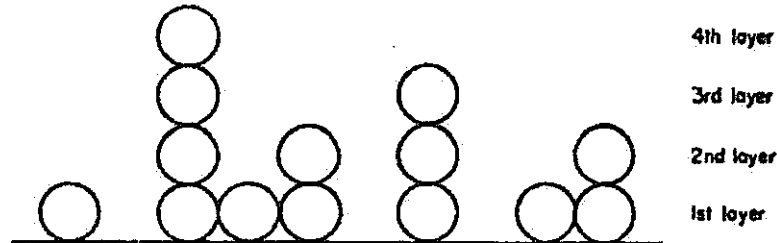
### 6-3: نظرية BET-الامتاز متعدد الطبقات:

#### BET Theory-Multilayer Adsorption

بما أن الامتاز الفيزيائي هو نتيجة لقوى فاندر فالس، وأن هذه القوى هي الفاعلة في تبييع الغازات، فإن الامتاز يجب أن لا يتوقف عند إتمام الطبقة الأحادية وأن يستمر الامتاز إلى غشاوة متعددة الطبقات، وفي الحقيقة فإن تشكيل الطبقات المتعددة، والتي تكون أساساً ذات طبيعة سائلة، تكون كثيرة الشيوع. وبما أن نظرية الحالة السائلة معقدة وغير كاملة حتى الآن، لذا فإن معالجة الغشاوة السائلة في حقل قوى الماز الصلب لم تحل بعد، ولا بد عند معالجتها من إدخال بعض الافتراضات التبسيطية.

تقوم معالجة بربنauer (Brunauer) وايميت (Emmett) وتيلر (Teller) واختصاراً BET عام 1938 على فرضيات لانغمصيري، إذ وسعوا آلية لانغمصيري لتشمل الطبقة الثانية والطبقات الأعلى. يُعدّ

نموذج لأنغموير للامتراز كما يلي: عندما تصلم جزيئه غازية جزيئه ممتزة على سطح الصلب فإنها تتکف عليها، أي إن الجزيئه الممتزة في طبقة تعتبر كمركز امتراري للطبقة التي تليها... وهكذا، كما في الشكل (9-3). وإن عملية التكتيف/التخير يمكن أن تطبق على الطبقات الأعلى. ويصبح



الشكل (9-3) يمثل نموذج BET للامتراز متعدد الطبقات.

التوازن الديناميكي بحيث يكون عدد الجزيئات المتاخرة في ثانية من الطبقة  $i$  مساوياً لـ عدد الجزيئات المتكاثفة في الثانية في الطبقة الأدنى مباشرة (1-i)، وهذا يكون من أجل الطبقة الأولى وتبعاً لآلية لأنغموير، العلاقة (13-3)، ما يلي:

$$K_{pa_1} \theta_0 = Z_m \theta_1 v_1 \exp(-E_1/RT) \quad (22-3)$$

ويكون من أجل الطبقة الثانية ما يلي:

$$K_{pa_2} \theta_1 = Z_m \theta_2 v_2 \exp(-E_2/RT) \quad (23-3)$$

ومن أجل الطبقة  $i$  يكون:

$$K_{pa_i} \theta_{i-1} = Z_m \theta_i v_i \exp(-E_i/RT) \quad (24-3)$$

ويكون عدد الجزيئات الممتزة على واحدة المساحة من الماز مساوياً ما يلي:

$$Z = Z_m(\theta_1 + 2\theta_2 + 3\theta_3 + \dots + i\theta_i) \quad (25-3)$$

ويكون عدد الجزيئات الممتزة من أجل 1 g صلب مساوياً ZS ومن ثم فإن:

$$\frac{Z}{Z_m} = \frac{ZS}{Z_m S} = \frac{V}{V_m} = \theta_1 + 2\theta_2 + 3\theta_3 + \dots + i\theta_i \quad (26-3)$$

يجب التأكيد على أن  $\theta_1$  و  $\theta_2$  و  $\theta_3$ ... الخ لا تكون تابعة للضغط فقط وإنما أيضاً إلى تواترات الامتراز  $v_1$  و  $v_2$  و  $v_3$ ... الخ وحرارات الامتراز  $E_1$  و  $E_2$  و  $E_3$ ... الخ ومعاملات التكتيف  $a_1$  و  $a_2$  و  $a_3$  و ... الخ، ومن ثم لا يمكن إجراء الجمع للطرف الأيمن للعلاقة (26-3) إلا بفرض بعض البسيطات التي توضح العلاقة بين  $v$  و  $E$ . ولهذا الغرض فرضوا الفرضيات البسيطية التالية:

أ- إن حرارات الامتراز في جميع الطبقات فيما عدا في الطبقة الأولى تكون متساوية وتتساوي إلى

حرارة تكتيف المادة الممتزة،  $L_c$  أو  $\Delta H_c$ ، أي إن:

$$E_2 = E_3 = \dots = E_i = L_c$$

ب- تكون ثوابت التخير/التكتيف في كافة الطبقات عدا الطبقة الأولى متماثلة، أي:

$$v_2/a_2 = v_3/a_3 = \dots = v_i/a_i$$

ج- عندما يساوي الضغط إلى الضغط الإشعاعي لبخار المادة الممتزة عند درجة حرارة الامتراز  $P=P_c$ ، فإن بخار المادة الممتزة سيكافف كالسوائل العادية في الغشاوة الممتزة، ومن ثم فإن عدد الطبقات الممتزة سيكون غير محدود على السطح.

يمكن بدءاً من هذه الافتراضات حساب المجموع في الطرف الأيمن للعلاقة (26-3) كما يلي: من العلاقة (22-3) نستطيع أن نكتب ما يلي:

$$\frac{\theta_1}{\theta_0} = \frac{Ka_1 P}{Z_m V_1} e^{E_1/RT} = \alpha \Rightarrow \theta_1 = \alpha \theta_0 \quad (27-3)$$

ويمكن من العلاقة (23-3) أن نكتب ما يلي:

$$\frac{\theta_2}{\theta_1} = \frac{Ka_2 P}{Z_m V_2} e^{E_2/RT} = \beta \Rightarrow \theta_2 = \beta \theta_1 = \alpha \beta \theta_0 \quad (28-3)$$

وهكذا يكون لدينا:

$$\theta_i = \alpha \beta^{i-1} \theta_0 \quad (29-3)$$

ويفرض أن  $C = \alpha/\beta$  فإنه ينبع مباشراً أن:

$$\theta_i = C \beta^i \theta_0 \quad (30-3)$$

نجد من العلاقات (27-3) و (28-3) أن الثابت  $C$  والذي يعرف بثابت BET يعطى بالعلاقة التالية:

$$C = \frac{a_1 V_2}{a_2 V_1} e^{(E_1 - E_2)/RT} \quad (31-3)$$

وبالتعويض العلاقة (30-3) في العلاقة (26-3) نحصل على ما يلي:

$$\frac{V}{V_m} = \frac{Z}{Z_m} = C \theta_0 (\beta + 2\beta^2 + \dots + i\beta^i) = C \theta_0 \sum_i^\infty (i\beta^i) \quad (32-3)$$

وحيث إن  $\beta = \beta^i$  فإنه ينبع مباشراً أن:

$$\sum_i^\infty i\beta^i = \beta \frac{d}{\beta} [\sum_i^\infty (\beta^i)] = \frac{\beta}{(1-\beta)^2} \quad (33-3)$$

حيث إن المجموع ضمن القوسين المتوسطين ما هو إلا سلسلة هندسية لانهائيّة قيمتها تساوي  $(\beta/(1-\beta))$ .

وبالتعويض في العلاقة (32-3) ينبع لدينا ما يلي:

$$\frac{V}{V_m} = C \theta_0 \frac{\beta}{(1-\beta)^2} \quad (34-3)$$

ولكن الجزء العاري من السطح يساوي بعد الأخذ بالعلاقة (30-3) إلى:

$$\theta_0 = 1 - (\theta_1 + \theta_2 + \dots + \theta_i) = 1 - \sum_i^\infty \theta_i = 1 - C \theta_0 [\beta/(1-\beta)]$$

ويعزل  $\theta_0$  نحصل على ما يلي:

$$\theta_0 = \frac{1}{1 + C\beta/(1-\beta)} \quad (35-3)$$

وبالتعويض في العلاقة (34-3) ينبع لدينا ما يلي:

$$\frac{V}{V_m} = \frac{C\beta}{(1-\beta)^2 [1 + C\beta/(1-\beta)]} = \frac{C\beta}{(1-\beta)(1-\beta+C\beta)} \quad (36-3)$$

وبالأخذ بالفرضية (ج) أي إنه عندما  $P = P_0$  فإن البخار سيكتف كأنه سائل، أي إن

ومن ثم فإن  $1 - \beta = \beta$  ومنه نحصل على ما يلي:

$$\beta = P/P_0 \quad (37-3)$$

وبالتعويض في العلاقة (36-3) ينتج لدينا:

$$\frac{V}{V_m} = \frac{x}{x_m} = \frac{C(P/P_o)}{(1-P/P_o)[1+(C-1)P/P_o]} \quad (38-3)$$

تتمثل هذه العلاقة علاقة BET الامترازية.

لاختبار علاقه BET على البيانات الامترازية التجريبية، تحوّل إلى الشكل الخطى التالي:

$$\frac{P/P_o}{V(1-P/P_o)} = \frac{P}{V(P_o - P)} = \frac{1}{V_m C} + \frac{C-1}{V_m C} \frac{P}{P_o} \quad (39-3)$$

توضّح هذه العلاقة أنّه عند رسم  $P/V(P_o - P)$  بدلالة  $P/P_o$  سينتّج خط مستقيم ميله يساوي  $-C/V_m$  وتقاطعه  $1/CV_m = a$ ، ومنهما يحسب كل  $\square$  من  $V_m$  و  $C$ . وُجد تجربياً أنّ علاقه BET تتطّبّق على البيانات الامترازية لمنحنيات الامتراز من النوع II و III. أي من أجل الأجسام المازة غير المسامية، وخاصة في المجال  $0.04 \leq P/P_o \leq 0.35$ . كما أنها تتطّبّق، كما سنرى لاحقاً، على الأجسام الصلبة ذات المسام الانتقالية.

يتعلّق الثابت  $C$  بحرارة الامتراز، وذلك كما يتضح من العلاقة (31-3)، أي:

$$C = (a_1 v_2 / a_2 v_1) \exp[(E_1 - L_c)/RT] \quad (31-3)$$

تمثّل  $(E_1 - L_c)$  حرارة الامتراز الصافية، وتعطى بالعلاقة التالية:

$$(E_1 - L_c) = RT \ln C - RT \ln (a_1 v_2 / a_2 v_1) \quad (40-3)$$

وُجد كيمبال (Kemball) وشرلينر (Schriener) أنّ قيمة العامل  $a_1 v_2 / a_2 v_1$  تقع في المجال  $5-10^{-5}$  معندة على الجملة المدرّسة. وعلى كل  $\square$  فإنّ  $a_1$  و  $v_2$  وحتى نسبتها لا يمكن تقديرها من خواص الماز والممتر. ولهذا يستخدم الشكل المبسط كثيراً، باعتبار أنّ  $a_2 = a_1$  و  $v_2 = v_1$ ، لحساب حرارة الامتراز الصافية، حيث تؤول العلاقة (40-3) إلى الشكل المبسط التالي:

$$E_1 - L_c = RT \ln C \quad (41-3)$$

لا تخلو أيّة نظرية من العيوب وتلك لاعتمادها على فرضيات مبسطة، ومن أهم عيوب نظرية

BET نذكر ما يلي:

1- إنّ افتراض أنّ السطح متجانس طاقتى، أي جميع المراكز الامترازية متكافئة، غير واقعي لأنّ معظم الأجسام الصلبة غير متماثلة من الوجهة الطاقية، وهي تحوي على عيوب متعددة، حتى وإنّ فشل علاقه BET عند تطبيقها على البيانات التجريبية عند الضغوط المنخفضة  $P/P_o < 0.04$  يعود إلى عدم تجانس السطح.

2- إهمال التأثير المتبادل الجانبي (الأفقي) بين الجزيئات الممتّرة والأخذ فقط بالتأثيرات العمودية، أيضاً يؤدي إلى الشك في التطبيق وخاصة عند الضغوط المتوسطة والعالية عندما تكون الجزيئات الممتّزة قريبة من بعضها بعضاً.

3- إنّ إهمال التأثيرات الجانبية يتعارض مع اعتبار أنّ حرارة الامتراز في الطبقة الثانية والطبقات الأعلى متساوية ومساوية إلى حرارة التكتيف  $L_c$ ، وذلك لأنّه في عمّق السائل تحاط كل جزيئه بإثنى عشرة جزيئه مباشرة وسطياً، بينما في الطبقة الممتّزة كما فرض BET هناك جزيئتان مجاورتان

عموديّات فقط إحداها في الأعلى والثانية في الأسفل. وهكذا نجد أنّه تبعاً للنموذج والافتراضات التي قامت عليها نظرية BET فإنّ حرارة الامتاز لن تتعدي في أفضليّة الأحوال نصف حرارة التكثيف للمادة الممتزّة.

4- إنّ افتراض كون جميع الجزيئات بعد الطبقة الأولى متماثلة يدعو للتساؤل؟ فمن المتوقّع أن يتّناقض مجال قوى الامتاز بسرعة بازدياد المسافة عن السطح.

5- اعتبار أنّه عند الضغط الأشعاعي سيكون عدد الطبقات الممتزّة غير محدود غير واقعي وخاصة من أجل الأجسام الصلبة المسامية حيث أثبتت التجارب في الكثيّر من الأمثلة أنّ عدد الطبقات الممتزّة يكون محدوداً حتى ولو تعرّض الصلب إلى بخار مشبع، ولهذا تُعدّل في بعض الحالات علاقـة BET لتأخذ الشكل التالي:

$$\frac{V}{V_m} = \frac{CP/P_o}{1-P/P_o} \frac{1-(n+1)(P/P_o)^n + n(P/P_o)^{n+1}}{1+(C-1)(P/P_o)-C(P/P_o)^{n+1}} \quad (38b-3)$$

تُستنتج هذه العلاقة بإجراء الجمع في العلاقة (32-3) إلى  $n = \infty$  وليس إلى 0. وتعتبر هذه العلاقة عامّة، حيث تؤول إلى علاقـة BET بوضع  $n = \infty$  وإلى علاقـة لانغمـoir عندما  $n = 1$ .

### 7-3: حساب المساحة السطحيّة النوعيّة من سعة الطبقة الأحاديّة:

#### Calculation of specific surface area from monolayer capacity

تحـدـد سـعـةـ الطـبـقـةـ الأـحـادـيـةـ عـدـدـ المـوـلـاتـ المـمـتـزـةـ عـلـىـ وـاحـدةـ الـكـلـةـ لـلـماـزـ ( $n^o$  mol/g)، وـنـاكـ كـمـاـ يـلـيـ: إـذـاـ حـسـبـتـ  $V_m$  بـواـحدـةـ ccSTP/g فـإـنـ عـدـدـ المـوـلـاتـ المـمـتـزـةـ مـنـ أـجـلـ 1ـ صـلـبـ تـساـويـ  $x_m$ ، حيث تمثل  $V_m/22414$  cc هو الحجم المولّي لأي غاز عند الشروط النظامية، أما إذا حسبت  $x_m$  بـواـحدـةـ g/g فـإـنـ  $x_m/M$  حيث تمثل  $M$  الكثـلـةـ الـجـزـيـةـ لـلـغاـزـ المـمـتـزـ، ويـكـوـنـ عـدـدـ الجـزـيـاتـ المـمـتـزـةـ عـلـىـ 1ـ صـلـبـ هيـ  $n^o L$ ، حيث تمثل  $L$  عدد أفوغادرو، وباعتبار سطح مقطع الجزيئـةـ المـمـتـزـةـ هو  $A_m$  فإنـ:

$$S = n^o L A_m \quad (42-3)$$

تقـدـرـ  $S$  بـواـحدـةـ g/m<sup>2</sup> وـ  $A_m$  بـواـحدـةـ (1 Å<sup>2</sup>=10<sup>-16</sup> cm<sup>2</sup>) Å<sup>2</sup> وبالتالي تؤول العلاقة السابقة إلى الشكل التالي:

$$S (m^2/g) = (x_m/M)L A_m \cdot 10^{-20} \quad (43-3)$$

$$S (m^2/g) = (V_m/22414)L A_m \cdot 10^{-20} \quad (44-3)$$

تحـسـبـ  $A_m$  لـلـغاـزـاتـ وـالـأـخـرـةـ مـنـ العـلـاقـةـ التـالـيـةـ:

$$A_m (\text{\AA}^2) = f (M/\rho L)^{2/3} \cdot 10^{16} \quad (45-3)$$

حيـثـ يـمـثـلـ  $f$  عـاـمـلـ التـحـزـيمـ وـيـسـاوـيـ 1.09ـ مـنـ أـجـلـ 12ـ جـزـيـئـةـ مـجاـوـرـةـ فـيـ عـمـقـ السـائـلـ وـسـتـ جـزـيـئـاتـ فـيـ المـسـتـوـيـ، وـمـ كـثـافـةـ المـادـةـ المـمـتـزـةـ بـشـكـلـهـ السـائـلـ. عـنـ استـخـدـامـ التـنـرـوجـينـ مـادـةـ مـمـتـزـةـ عـنـ الدـرـجـةـ 77Kـ فـإـنـ  $\rho = 0.808$  g/cm<sup>3</sup>، وـمـ ثـمـ يـكـوـنـ سـطـحـ مـقـطـعـ جـزـيـئـةـ التـنـرـوجـينـ وـفـقاـًـ لـلـعـلـاقـةـ (45-3)ـ هـوـ:

$$A_m = 1.091(28.014/0.808 \times 6.0225 \times 10^{23})^{2/3} \times 10^{16} = 16.27 \text{\AA}^2$$

وـهـيـ الـقـيـمةـ الـمـعـتـرـفـ فـيـهـاـ فـيـ الـمـرـاجـعـ.

6) إذا قدرت سعة الطبقة الأحادية بواحدة  $\text{ccSTP/g}$  فإن العلاقة (44-3) تؤول من أجل امتراز التتروجين إلى الشكل التالي:

$$S (\text{m}^2/\text{g}) = 4.37 V_m (\text{ccSTP/g}) \quad (46-3)$$

7) إذا قدرت سعة الطبقة الأحادية بواحدة  $\text{g/g}$  فإن العلاقة (43-3) تؤول من أجل امتراز التتروجين إلى الشكل التالي:

$$S (\text{m}^2/\text{g}) = 3.498 x_m (\text{g/g}) \quad (47-3)$$

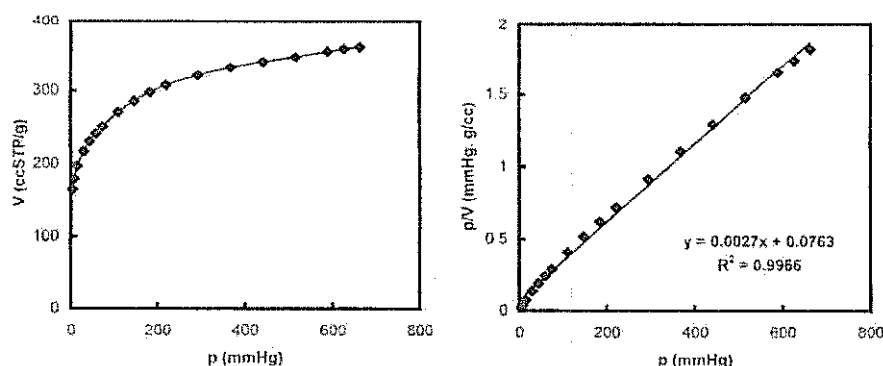
**مثال 1:** عند إجراء امتراز التتروجين عند الدرجة 77K على الفحم الفعال بالطريقة الحجمية حصل على البيانات الامترازية المبينة في الجدول التالي.

P (mmHg)	V (ccSTP/g)	P/V (Torr.g/cc)	P (mmHg)	V (ccSTP/g)	P/V (Torr.g/cc)	والمطلوب:
3.72	164.726	0.02258	183.85	297.920	0.61711	رسم منحني
7.40	179.502	0.04123	220.61	307.530	0.70736	الامتراز
14.77	196.605	0.07513	294.05	321.601	0.91433	متساوي الدرجة
29.49	216.460	0.13624	367.58	332.797	1.10452	وطبق علاقة
44.17	230.453	0.19167	441.04	340.914	1.29370	لانغمور
58.90	241.713	0.24368	514.48	348.080	1.47805	
73.63	251.349	0.29294	587.95	356.385	1.64976	
110.39	270.855	0.40756	625.17	359.895	1.73709	
147.13	285.888	0.51464	661.46	363.263	1.82088	الخطية لحساب

و  $V_m$  والمساحة السطحية النوعية.

الحل: يُبيّن الشكل منحني امتراز التتروجين عند الدرجة 77K على الفحم الفعال، ويلاحظ أنه من النموذج I، نحسب  $P/V$  ونسجلها في الأعمدة 3 و 6 من الجدول السابق ثم نطبق علاقة لانغمور الخطية، العلاقة (21-3)، التالية:

$$\frac{P}{V} = \frac{1}{V_m B} + \frac{P}{V_m}$$



نجد من الرسم الخطّي أن الميل يساوي 0.0027 والتقاطع يساوي 0.0763 وبالتالي يكون لدينا:

$$m = 1/V_m \rightarrow V_m = 1/m = 1/0.0027 = 370.37 \text{ ccSTP/g}$$

$$i = 1/BV_m = m/B \rightarrow B = m/i = 0.0027/0.0763 = 0.035 \text{ Torr}^{-1}$$

حساب السطح النوعي نطبق العلاقة (3-46) التالية:

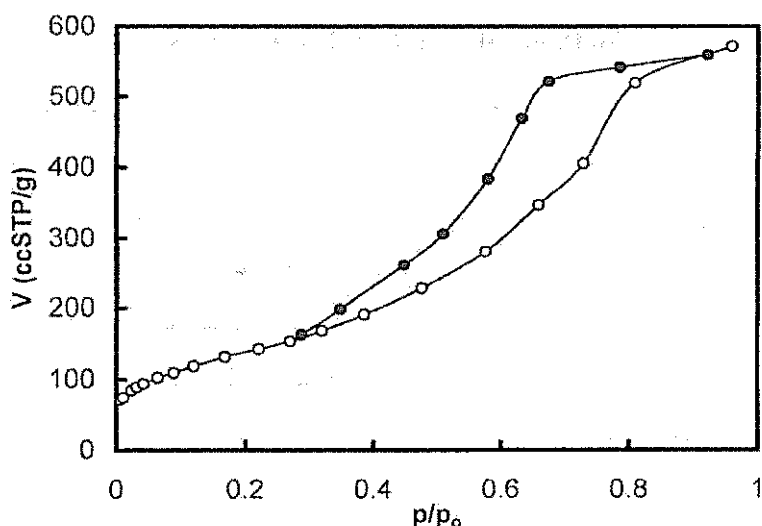
$$S = 4.37 V_m = 4.37 \times 370.37 = 1618.5 \text{ m}^2/\text{g}$$

مثال 2: أنجز امتراز النتروجين عند الدرجة 77K على هلام السيليكا فوجدت النتائج التالية:

P/P <sub>o</sub>	V (ccSTP/g)	P/P <sub>o</sub>	V (ccSTP/g)	P/P <sub>o</sub>	V (ccSTP/g)
0.0065	71.13	0.2699	153.18	Desorption	
0.0104	73.84	0.3192	168.36	0.9220	559.42
0.0234	84.43	0.3850	190.87	0.7850	541.91
0.0312	88.85	0.4754	226.97	0.6740	521.76
0.0416	93.75	0.5754	280.33	0.6316	468.41
0.0637	102.52	0.6590	346.99	0.5795	383.80
0.0884	109.26	0.7288	405.51	0.5096	305.79
0.1196	118.58	0.8083	519.63	0.4480	260.79
0.1677	131.18	0.9590	571.70	0.3480	198.35
0.2210	142.40			0.2877	162.51

ارسم منحنى الامتراز وبيان نوعه، ثم أحسب  $V_m$  و  $C_{BET}$  و  $S_{BET}$ .

الحل:

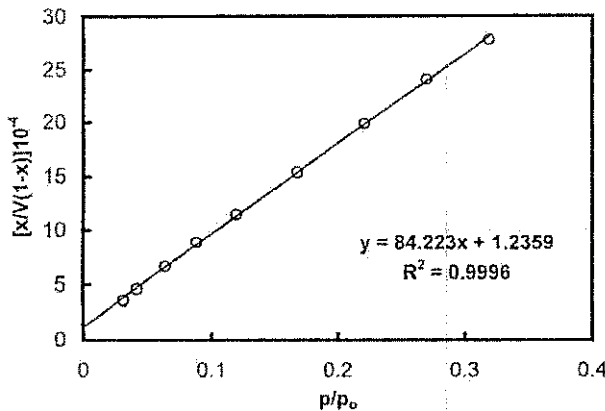


يبين الشكل السابق منحنى الامتراز متساوي الدرجة للعينة المدروسة ويلاحظ أنه من التموزج IV المميز للأجسام الميزو مسامية. ولحساب  $V_m$  و  $C_{BET}$  و  $S_{BET}$  نطبق علاقة BET الخطية التالية:

$$\frac{P/P_o}{V(1-P/P_o)} = \frac{P}{V(P_o - P)} = \frac{1}{V_m C} + \frac{C-1}{V_m C} \frac{P}{P_o} \quad (39-3)$$

لهذا يجب حساب الحد ( $P/P_o$ ) من البيانات الامترازية في مجال الضغط النسبي  $0.0312 < P/P_o < 0.3192$ ، والموضحة في الجدول التالي:

P/P <sub>o</sub>	[(P/P <sub>o</sub> )/V(1-P/P <sub>o</sub> )]10 <sup>4</sup>	P/P <sub>o</sub>	[(P/P <sub>o</sub> )/V(1-P/P <sub>o</sub> )]10 <sup>4</sup>
0.0312	3.6246	0.1677	15.3598
0.0416	4.6299	0.2210	19.9225
0.0637	6.6361	0.2699	24.1334
0.0884	8.8875	0.3192	27.8487
0.1196	11.4562		



ومنها نحصل على ما يلي:

$$C_{BET} = (m/i) + 1 \quad \text{و} \quad V_m = 1/(m + i) \quad (48-3)$$

وبالتعويض ينتج لدينا:

$$V_m = 10^4 / (84.215 + 1.238) = 117.0234 \text{ ccSTP/g}$$

$$C_{BET} = (84.215 / 1.238) + 1 = 69$$

$$S_{BET} = 4.37 \times V_m = 4.37 \times 117.0234 = 511.39 \text{ m}^2/\text{g}$$

### 8-3: طرائق المناخي القياسية: Methods of Standard Isotherms

وجدنا أن الامتراز الفيزيائي معقد وحافل بالتدخلات، وبينما أن علاقة لانغموير لا تفسر إلا نوعاً واحداً من مناحي الامتراز، النوع I، كما أن علاقة BET الخطية لا تتطبق إلا على مجال محدود من الضغط النسبي. لذلك قامت محاولات عديدة لتحليل منحنيات الامتراز الفيزيائي وذلك بالاعتماد على نتائج الامتراز القياسية المأخوذة لمواد غير مسامية واتخاذها مواد مرجعية، ومن ثم مقارنة البيانات الامترازية للمواد قيد الدراسة مع المواد المرجعية، وبحيث توضح آليات الامتراز الفيزيائي الثلاث: تنطوية أحادية الطبقة/متعددة الطبقات والتكافث الشعري وملء المسام الدقيقة، مما يؤدي إلى تفسير مقنع لتحليل البيانات الامترازية ومن ثم الوصول إلى قيم صحيحة لمساحة السطح الكلية ومساحة السطح الخارجي وكذلك مساحة المسام الدقيقة وحجمها.

اعتمدت بعض المناقشات على أن يكون الثابت  $C_{BET}$  للعينات المدروسة مقارباً للثابت  $n$  للمنحنى المرجعي، كما في طريقة رسومات- t الذي أوجدها دي بور ورفاقه (1964) ورسومات- n للكلاوكس (Lecloux, 1979)، واعتمدت مناقشات أخرى، وهي الآن الأكثر قبولاً، ضرورة أن يكون هناك تشابه كيميائي بين المادة المرجعية والمادة المطلوب دراستها، كما في طريقة رسومات- a لسينغ (Sing, 1987). فمثلاً يؤخذ منحنى امتراز النتروجين عند الدرجة 77K على سطح السيليكا غير المسامية كمرجع لتحليل منحنيات امتراز النتروجين على أنواع السيليكا والسيликات المختلفة، وعلى سطح الألومينا غير المسامية من أجل أنواع الألومينا والمواد المماثلة، وعلى الفحم غير المسامي من أجل المواد الكربونية والفحوم الفعالة الأخرى.

تمتاز هذه الطرائق ليس فقط لتحديد المساحة السطحية النوعية وإنما لكشف المسامية ونوعها، وتحديد السطح الخارجي وحجم المسام الدقيقة كما سنجد لاحقاً. وسنكتفي هنا بطريقتي رسومات -t ورسومات - a لأنها الأكثر شهرة واستخداماً لتحليل البيانات الامتزازية.

### 1-8-3: طريقة رسومات -t : The t-plots Method

تقوم هذه الطريقة أساساً على نظرية أو فرضية المنحنى القياسي لامتزاز النتروجين عند الدرجة 77K. فقد وجد عدة باحثين مثل شول (Shull, 1948) وبيرس (Pierce) وغيرهما من أجل منحنى امتزاز النتروجين (77K) على عدد من الأجسام الصلبة غير المسامية وعندما لا يظهر تكافف شعري بأنه عند رسم النسبة  $V/V_m$  بدلالة الضغط النسبي  $P/P_0$  (أو  $x$ ) ينتج تقريباً منحن واحد يدعى بالمنحنى القياسي (standard isotherm)، ويساعدة هذا التابع يمكن حساب سماكة الطبقة الممتزة كتاب للضغط النسبي إذا عرفت السماكة عند نقطة ما من منحنى الامتزاز. فرض شول أن السماكة عند الطبقة الأحادية، أي عندما  $V/V_m=1$ ، تكون مساوية إلى قطر جزيئه النتروجين، ولقد فرض شول أن الجزيئات عبارة عن كرات متراصة وحسب قطر جزيئه النتروجين اعتماداً على نموذج BET لامتزاز، أي إن الطبقات المتتابعة في الامتزاز متعدد الطبقات ترتب بحيث تكون الجزيئات في الطبقات التالية تتوضع فوق الجزيئ الموجودة في الطبقة الأدنى، وكانت 4.3 Å بين ليبنز ودي بور ورفاقهما (Lippens & deBoer et al, 1964) أن هذا التراص لا يوافق النموذج المتراص والذي يستخدم لحساب قطر جزيئه النتروجين في سائل النتروجين.

فرض دي بور ورفاقه لحساب  $t$  أن كثافة النتروجين في الطبقات الممتزة تكون كما هي الحال في سائل النتروجين العادي وبالنسبة 0.808 g/cm<sup>3</sup>، وفروا ما يسمى بالسماكة الإحصائية (statistical thickness) والتي تعرف بالعلاقة التالية:

$$t (\text{\AA}) = 10^4 x / S = 10^4 M V_{sp} V_a / 22414 S \quad (49-3)$$

حيث تمثل  $t$  السماكة الإحصائية للطبقة الممتزة (Å)، و $x$  الحجم الممتر بشكله السائل ml، و $S$  المساحة السطحية النوعية للماز (m<sup>2</sup>/g) تبعاً لطريقة BET و $M$  الكثافة الجزيئية للمادة الممتزة و $V_{sp}$  الحجم النوعي للمادة الممتزة (ml/g) و $V_a$  الحجم الممتر بواحدة ccSTP/g، ومن أجل النتروجين كمادة ممتزة حصلوا على القيمة التالية:

$$t (\text{\AA}) = 15.47 V_a / S \quad (50-3)$$

وباستخدام الطريقة التي اتبعها BET لحساب  $S$ ، أي  $S_{BET} = 4.37 V_m$ ، حيث  $A_m = 16.27 \text{\AA}^2$ ، وتعويضها في العلاقة السابقة نحصل على ما يلي:

$$t (\text{\AA}) = 3.54 V_a / V_m \quad (51-3)$$

نجد جلياً من هذه العلاقة أنه عندما  $V_a = V_m$  يكون  $t = 3.54 \text{\AA}$ ، وهذه القيمة تختلف كثيراً عن القيمة التي حصل عليها شول، أي 4.3 Å.

حسب دي بور قيم  $t$  من أجل عدة منحنيات امتزاز على عينات مختلفة منقاة بدقة مثل  $\text{Al}_2\text{O}_3$  و  $\text{MgO}$  و  $\text{ZrO}_2$  و  $\text{BaSO}_4$  و  $\text{TiO}_2$  و  $\text{SiO}_2$  (ايروسيل aerosil) وأنواع من الفحم

الأسود المغرفت و Ni - أنتي فورايت وذلك تبعاً للعلاقة (51-3)، فوجد أن منحنيات  $t$  بدلالة  $P/P_0$  من  $MgO$  و  $ZrO_2$  و  $BaSO_4$  و  $TiO_2$  لـ Ni - أنتي فورايت تكون متماثلة تماماً ومماثلة لمنحنى المقيس من أجل  $Al(OH)_3$  و  $Al_2O_3$  حتى الضغط النسبي 0.75، وبعدها يحدث انحراف نتيجة حدوث التكافث الشعري. وأكثر من ذلك، وجد أنه ليس هناك تأثير كبير لطبيعة السطح على سماكة الطبقة الممتازة بالرغم من توقيع ذلك وخاصة لأن هناك بنى مختلفة. أما من أجل السيليكا فوجد انحرافاً في قيم  $t$  عندما  $P/P_0 > 0.15$ ، وعزى ذلك إلى وجود مسامية واضحة في السيليكا.

وهكذا وجد دي بور ورفاقه أن سماكة الطبقة الممتازة من  $N_2$  والمحسوبة من العلاقة (51-3) تكون مستقلة تقريباً عن طبيعة الماز غير المسامي، لذلك استنتجوا أنه في حالة غياب التكافث الشعري فإن تغيرات سماكة الطبقة الممتازة مع  $P/P_0$  تعطي منحنياً واحداً يسمى منحنى - t العام (Universal t-curve)، ويُبين الجدول (3-1) قيم  $t$  بدلالة الضغط النسبي والمحسوبة من العلاقة (51-3). وضعت منحنيات قياسية أخرى تبعاً لقيم  $C_{BET}$  والموضحة في الجدول (3-1).

الجدول (3-1) يُبين قيم  $t$  بدلالة  $P/P_0$  عند قيم مختلفة للثابت  $C_{BET}$ .

$P/P_0$	20-30 ميكائيل	60-90 دي بور	110 سينج	$C > 150$ كرانستون
0.060	2.20	3.35	2.90	3.60
0.080	2.50	3.51	3.40	3.85
0.100	2.74	3.68	3.68	4.10
0.150	3.19	4.03	4.00	4.55
0.200	3.54	4.36	4.32	4.90
0.250	3.89	4.70	4.60	5.25
0.300	4.25	5.01	4.85	5.65
0.350	4.60	5.34	5.13	6.00
0.400	5.04	5.71	5.42	6.35
0.450	5.49	6.10	5.66	6.72
0.500	6.02	6.50	5.95	7.05
0.550	6.15	6.90	6.23	7.43
0.600	6.37	7.36	6.38	7.75
0.650	6.90	7.90	6.47	8.31
0.700	7.43	8.57	7.47	8.60
0.750	7.97	9.40	7.97	9.50
0.800	8.67	10.57	8.78	10.30
0.850	9.84	12.25	9.77	11.50
0.900	12.74	14.94	12.46	12.70
0.950	21.54	18.70	20.00	14.50

يُبين دي بور ورفاقه أن منحنى - t العام لامتزاز النتروجين (77K) متعدد الطبقات في مجال الضغط النسبي  $\leq 0.75$  يُوصف بشكل مرضٍ جداً بعلاقة هاركينز - جورا التالية:

$$t = [13.99 / (0.034 - \log P/P_0)] \quad (52-3)$$

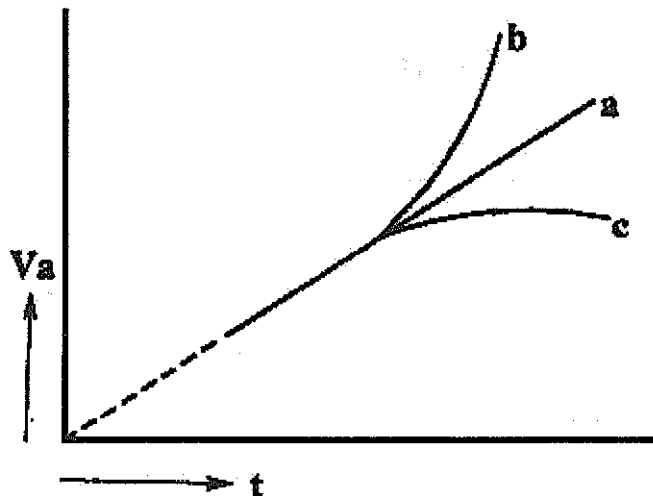
عملياً تحول قيمة  $V$  وبوحدة  $ccSTP/g$  والتابعة لـ  $P/P_0$  ويمسّاعدة الجدول (3-1) كتاب  $t$ . عند رسم  $V$  بدلالة  $t$  لجسم ماز مجھول فإنه يمكن الحصول على خط مستقيم يمر من المبدأ إذا كان

الامترار متعدد الطبقات غير معاق، كما في الشكل (10-3)، ومن ميل هذا الخط يمكن حساب المساحة السطحية النوعية  $S_t$ ، إذ نلاحظ من العلاقة (50-3) أن:

$$S_t (\text{m}^2/\text{g}) = 15.47 \frac{\text{dV}}{\text{dt}} \quad (53-3)$$

أي نضرب الميل  $\frac{\text{dV}}{\text{dt}}$  مباشرة بالثابت 15.47 فنحصل على  $S_t$  بواحدة  $\text{m}^2/\text{g}$ .

لا تساوي قيمة  $S_t$  دوماً قيمة  $S_{BET}$  وذلك لأنّه في طريقة BET تتأثر قيمة  $S_{BET}$  بقيمة الثابت  $C_{BET}$  بينما في طريقة دي بور ورفاقه فإنّ قيمة  $t$  تُحسب بأخذ متوسط قيمة  $C_{BET}$ ، وهذا لا يؤثّر على قيمة  $S_t$  فحسب وإنما عند الضغوط المنخفضة عندما يكون تأثير الثابت  $C_{BET}$  كبيراً على شكل المنحنى ربما يحدث انحراف في مرور الخط المستقيم من المبدأ.



الشكل (10-3) يُبيّن الانحرافات عن الخطية في رسومات  $V-t$ .

وُجِدَ في كثير من الحالات أنَّ الجزء الأول من رسم  $V$  بدلالة  $t$  يكون خطًا مستقيماً يمر من المبدأ ومنه تُحسب  $S_t$  كما ذكرنا، إلا أنه عند الضغوط النسبية المرتفعة، أي عند قيم  $t$  العالية، يمكن أن يحدث انحراف عن الخطية، وهنا نميز الحالات الثلاث التالية:

أ- ليس هناك انحراف عن الخط المستقيم المار من المبدأ: يكون السطح في هذه الحالة متقدلاً بحرية حتى الضغوط العالية، ويكون تشكّل الطبقات المتعددة ممكناً على جميع أجزاء السطح دون إعاقة، ويكون فرع الامترار له شكل منحنى  $-t$  بالكامل، أي رسم  $V-t$  يكون مستقيماً. توافق هذه الحالة الأجسام الصلبة غير المسامية التي لا تبدي أي انحراف عن الخطية في رسومات  $V-t$  حتى القيم العالية  $t$ ، كما في المنحنى a من الشكل (10-3).

ب- عند ضغط ثسيبي معين يحدث انحراف للمنحنى نحو الأعلى، كما في المنحنى b من الشكل (10-3)، عند هذا الضغط النسبي (بداية الانحراف) يحدث التكاثف الشعري في المسام ذات الأشكال المعينة والأبعاد المعينة، وستكون الكمية الممترزة التي يأخذها الماز أكبر من الكمية الموافقة للامترار المتعدد الطبقات، ويقع فرع الامترار في هذه الحالة فوق المنحنى  $-t$ ، ويزداد ميل

المنحنى. تافق هذه الحالة الأجسام الصلبة ذات المسام الانتقالية (ميزو) والمتميزة بالتكافُف الشعري.

جـ ينحرف المنحنى عند ضغط نسبي معين نحو الأسفل، كما في المنحنى  $\sigma$  من الشكل السابق، ويحدث هذا نتيجة الامتلاء المفاجئ للمسام الدقيقة والذي يحدث عادةً عند الضغوط النسبية المنخفضة،  $P/P_0 < 0.2$ ، وبالتالي فإن السطح لا يتقبل الامتلاء بشكل كبير إلا في سطحه الخارجي، وتلاحظ هذه الانحرافات عموماً في الأجسام الصلبة دقيقة المسام وكذلك في بعض الحالات عندما تكون المسام بشكل شق طولي أو مستطيل حيث يحدث في هذه الحالات تكافُف شعري إلا أنه عند لحظة معينة تمتلي المسام تماماً بالمادة الممتزدة على جانبي جدران المسام. هذا وإن الميل الصغير عندما  $t > 10$  يوافق إلى المساحة الخارجية، والتي تكون عموماً صغيرة.

### 2-8-3: طريقة رسومات $a_s$ -plots method :

اعتبرت طريقة دي بور ورفاقه طريقة سهلة و مباشرة لتقدير منحنيات الامتلاء متساوية الدرجة لغاز التتروجين، إلا أنها لا تخلو من بعض العيوب التي ناقشها ولخصها سينغ ورفاقه (Sing et al, 1968, 1970) كما يلي:

- تقوم طريقة رسومات  $V-t$  على ما يسمى بالمنحنى  $-t$  والذي لا ينطبق على جميع السطوح.

- إن طريقة دي بور غير مستقلة عن طريقة BET حيث تعتمد على  $V_m$  و  $C_{BET}$ .

- لا يمكن توسيعها وتطبيقها على منحنيات الامتلاء عندما تكون قيم الثابت  $C_{BET}$  صغيرة.

لتفادي هذه الصعوبات عدل سينغ طريقة  $V-t$  كما يلي: يحوّل الامتلاء متساوي الدرجة على جسم صلب غير مسامي متنقى بعناية (أي الجسم الشاهد أو المرجع) إلى ما يسمى بالمنحنى الامتلازي القياسي المختزل (reduced standard isotherm)، وذلك برسم  $(V/V_x)_s$  أو  $a_s$  بدلالة  $P/P_0$ ، حيث تمثل  $V_x$  الحجم الممتر عند ضغط نسبي معين ومنتقى  $x$  ( $P/P_0$ )، وهذا فإن المنحنى القياسي المختزل للعينة المرجعية غير المسامية يمكن الوصول إليه بطريقة تجريبية وليس عن طريق  $V_m$ . هذا وإن قيمة  $x$  ( $P/P_0$ ) لا تكون مختارة بشكل اعتباطي، فقد وجد سينغ من أجل عدد من الأبخرة والغازات ومنها التتروجين بأن وضع  $a_s = 1 = (V/V_x)_s$  عند الضغط النسبي 0.4 يبدو منطقياً وذلك لأن التغطية وحيدة الطبقة وأمتلاء المسام الدقيقة يحدثان عند ضغوط نسبية أقل من 0.4، بينما يحدث التكافُف الشعري عموماً عند  $P/P_0 > 0.4$ .

قام سينغ ورفاقه مناحي امتراز التتروجين عند الدرجة 77K على هلام السيليكا وعلى هلام الألومينا ووضعوا قيم  $a_s$  بدلالة  $P/P_0$ ، كما في الجدول (2-3). كما قام كاروت ورفاقه (Carrot et al, 1987) بإيجاد المنحنى القياسي المختزل لنوعين من الفحوم غير المغرفة والموضحة في العمود الثالث من الجدول (2-3)، كما حضر سيليس بيرز ومارتين مارتينيز (Selles-Perez and Martin-Martinez, 1991) فهماً غير مسامي ومحضر من نوع الزيتون بتثبيته بغاز الفحم حتى نسبة حرق 6% وذلك عند الدرجة 2037K في جو من الأرغون، واستنتاجاً منحنياً مختلاً قياسياً هو الأكثر استخداماً لتحليل بيانات امتراز التتروجين على مختلف أنواع الفحوم والفحوم الفعالة، والموضحة في الجدول (2-3).

تعين المساحة السطحية النوعية تبعاً لطريقة  $a_s$ -V، أي  $S^a$ ، برسم الحجم الممتر  $V$  بواحدة

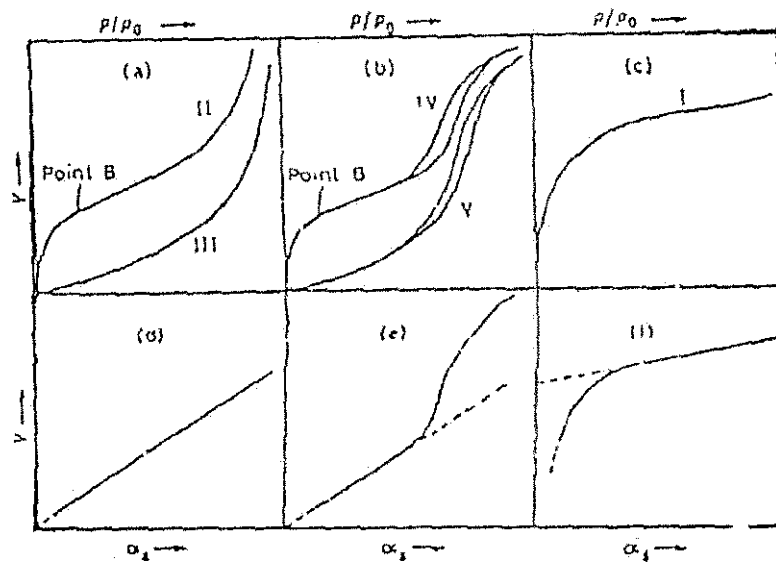
عند بدلالة قيم  $\alpha_s$  عند الضغوط النسبية الموافقة ويحدد الخط المستقيم المار من المبدأ، ويضرب الميل  $dV/d\alpha_s$  بالثابت المناسب والمحدد بالعلاقات التالية:

من أجل السيليكا	$S^a (m^2/g) = 2.89 dV/d\alpha_s$
من أجل الألومينا	$S^a (m^2/g) = 2.87 dV/d\alpha_s$
من أجل الفحم	$S^a (m^2/g) = 2.814 dV/d\alpha_s$

الجدول (2-3) يبيّن قيم  $\alpha_s$  بدلالة الضغط النسبي.

$P/p_0$	سيليكا Sing	كربون Carrott et al	كربون Selles & Martin
0.005	---	0.373	0.46
0.010	----	0.403	0.51
0.020	0.54	0.463	0.54
0.040	0.56	0.537	0.59
0.060	0.62	0.589	0.62
0.080	0.65	0.633	0.65
0.100	0.68	0.666	0.68
0.150	0.74	0.734	0.74
0.200	0.80	0.791	0.79
0.250	0.85	0.844	0.84
0.300	0.90	0.896	0.89
0.350	0.95	0.948	0.94
0.400	1.00	1.000	1.00
0.450	1.05	1.055	1.04
0.500	1.10	1.111	1.12
0.600	1.22	1.246	1.26
0.700	1.38	1.421	1.42
0.750	1.47	1.539	1.51
0.800	1.62	1.695	1.62
0.850	1.81	1.912	1.77
0.900	2.40	2.233	2.02

يعتمد شكل منحنيات  $V-\alpha_s$  على شكل منحني الامتاز متساوي الدرجة، كما يوضح الشكل (11-3)، إذ هناك ثلاثة نماذج لأشكال منحنيات  $V-\alpha_s$  وهي  $d$  و  $e$  و  $f$  المناظرة على التوالي لمنحنيات الامتاز الرئيسية  $a$  و  $b$  و  $c$ . تكون رسومات  $V-\alpha_s$  في النموذج  $d$  بشكل خطى عند مختلف قيم  $\alpha_s$  وهذا يكون نتيجة الامتاز على سطح صلب غير مسامي والذي يبدي منحنيات امتاز من النموذجين II و III ويمكن أن يتكون على السطح امتاز أحادى الطبقات/متعدد الطبقات وحتى امتاز لعدد غير محدود من الطبقات. يُظهر النموذج  $e$  تكائناً شعرياً في المسام الانتقالية وينتج غالباً من تحليل منحنيات الامتاز من النموذجين IV و V، إذ يتمثل ذلك بالانحراف عن الخطية نحو الأعلى عندما  $\alpha_s > 1$ . ينتج النموذج  $f$  عن تحليل منحنيات الامتاز من النوع I أو منحنيات امتاز متراكبة من النوعين I و II، ويتميز بحدوث انحراف نحو الأسفل مما يدل على وجود مسامية دقيقة في الصلب.

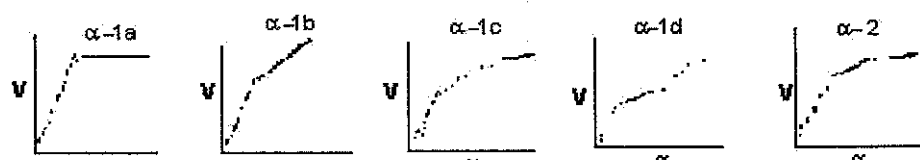


الشكل (3-11) يُبيّن نماذج رسومات  $V-\alpha_s$  تبعاً لنماذج منحنيات الامتاز.

تميّز طريقة  $\alpha_s$  ليس فقط بتحديد السطح النوعي وتبيّن نوع المسامية الغالية، وإنما أيضاً تمكن من حساب حجم المسام الدقيقة  $V_s^a$  وتحديد المساحة السطحية غير المسامية، المساحة الخارجية،  $S_n^a$  أو  $S_n$ . يتم حساب  $V_s^a$  من تقاطع الخط المستقيم عندما  $1 > \alpha_s > \alpha_s$  مع محور  $V$ ، كما يتضح في النموذج f من الشكل (3-11)، وبضرب ميل هذا الخط بالثابت المناسب نحصل على  $S_n^a$ .

للحظ أن رسومات  $V-\alpha_s$  تبدي نماذج مختلفة عن تلك الموضحة في الشكل (3-11)، وخاصة من أجل امتاز التتروجين على أنواع مختلفة من الفحوم الفعالة، لهذا صنف سيليس بيرز ومارتن مارتينيز عام 1991 رسومات  $V-\alpha_s$  لامتاز التتروجين على الفحوم الفعالة في خمس مجموعات والموضحة في الشكل (3-12).

يتميز النموذج a-1a بوجود خط مستقيم موازي لمحور المسينات ( $\alpha_s$ ) ويبدأ عند قيم  $1-\alpha_s$  وهذا السلوك مميّز للفحوم التي تمتلك مسام ضيقة متماثلة، ومساحة خارجية صغيرة جداً، كما في الفحوم المنشطة بـ كلوريد الزنك عند نسبة منخفضة.



الشكل (3-12)

يُبيّن تصنيف رسومات  $V-\alpha_s$  لامتاز التتروجين (77K) على الفحوم الفعالة.

يتميز النموذج a-1b بوجود خط مستقيم ذي ميل معتبر يبدأ عند  $1-\alpha_s$ ، مما يدل على وجود مسام انقلالية متطرّفة، وتكون المساحة الخارجية عالية ( $>300\text{m}^2/\text{g}$ ). تحدّد حجم المسام الدقيق من تقاطع هذا الخط مع محور  $V$ ، وتتوافق القيمة الناتجة مع تلك المعينة من امتاز  $\text{CO}_2$  عند الدرجة 273K.

يكون النموذج a-1c منحنياً كبيراً بحيث يكون الجزء الخطى ضعيفاً عند قيم  $\alpha_s$  العالية  $>1.7$ ، وفي هذه الحالة تكون المسامية متطرّفة بشكل كبير كما هي الحال عند التشغيل بـ  $\text{CO}_2$  أو  $\text{H}_3\text{PO}_4$ .

بعض المخلفات الزراعية، وتكون المساحة الخارجية المعينة من الخط المستقيم عند  $a_s$  العالية صغيرة 100  $\text{m}^2/\text{g}$ ، حتى إن النقاط الأولى عند الضغوط المنخفضة لا تمر من المبدأ.

يتميز النموذج  $a-1d$  بوجود خط مستقيم اعتباراً من  $a_s \sim 1.7$  و حتى  $a_s > 1.7$ ، ويحدث في الوقت ذاته تكافؤ شعري عند الضغوط النسبية العالية ( $a_s > 1.7$ ). يقىس تقاطع هذا الخط مع محور  $V$  حجم المسام الدقيقة. تؤدي زيادة التشيط إلى تعزيز المسامية الانتقالية وإلى زيادة المساحة الخارجية.

يكون النموذج  $a-2$  أكثر النماذج شيوعاً وذلك عندما يكون تشيط الفحوم الفعالة متوسطاً وعاليًا وخاصة عند استخدام  $\text{CO}_2$  عامل تشيط، ويتميز هذا النموذج بوجود جزأين مستقيمين، يبدأ الأول عند  $a_s \sim 1.5$  والثاني عند  $a_s \sim 1.7$ . تكون قيمة  $V^\alpha$  المعينة من الخط الأول مماثلة لقيم  $V_0$  المعينة بطريقة دويبن، علاقة  $\text{DR}$ ، لامترار التتروجين وغاز الفحم، وتكون المسامية الدقيقة ضيقة والمساحة الخارجية صغيرة  $< 100 \text{ m}^2/\text{g}$ .

**مثال 3:** أجري امترار التتروجين عند الدرجة 77K على الألومينا المعالجة عند الدرجة 873K بالطريقة الحجمية فحصل على البيانات الامترازية التالية:

P/P <sub>0</sub>	V(cc/g)						
0.005	15.0	0.300	33.0	0.800	73.2	0.700	90.1
0.010	17.2	0.350	35.2	0.850	82.7	0.650	84.0
0.020	18.7	0.400	37.8	0.900	93.5	0.600	77.2
0.040	20.3	0.450	40.1	0.950	100.8	0.550	67.5
0.060	21.8	0.500	42.8	Desorpt.		0.500	53.0
0.080	23.0	0.550	46.0	0.920	100.7	0.470	45.5
0.100	24.2	0.600	49.7	0.900	100.5	0.430	40.7
0.150	26.7	0.650	54.0	0.850	99.5	0.380	36.5
0.200	28.8	0.700	59.0	0.800	98.0	0.340	34.8
0.250	30.8	0.750	65.3	0.750	94.5	0.300	33.0

والمطلوب: ارسم منحني الامترار متساوي الدرجة، واحسب المساحة السطحية النوعية  $S_{\text{BET}}$ ، ثم ارسم رسومات  $V-t$  و  $V-a_s$ ، واحسب  $S^\alpha$  وقارن بين القيم الناتجة.

**الحل:** يُبيّن الشكل (a) منحني الامترار متساوي الدرجة ويلاحظ أنه من النموذج IV مع وجود أنشطة تخلفية واضحة دلالة على أن الألومينا المدروسة تمتلك مسامية انتقالية واضحة. لحساب السطح النوعي نطبق علاقة BET الخطية، أي نحسب  $(x/V)(1-x)$  ثم نرسمها بدلاالة الضغط النسبي كما يلي:

P/P <sub>0</sub> =x	0.02	0.04	0.06	0.08	0.10	0.15	0.20	0.25	0.30
[x/V(1-x)]10 <sup>3</sup>	1.09	2.053	2.928	3.781	4.591	6.609	8.681	10.823	12.99

ويُبيّن الشكل (b) رسم علاقة BET الخطية، وتلاحظ أن المستقيم ينطبق في المجال:  $0.02 \leq P/P_0 \leq 0.30$ ، ومن الرسم نجد أن  $m = 41.965 \times 10^{-3}$  و  $i = 0.3539 \times 10^{-3}$ ، ومنهما نحصل على ما يلي:

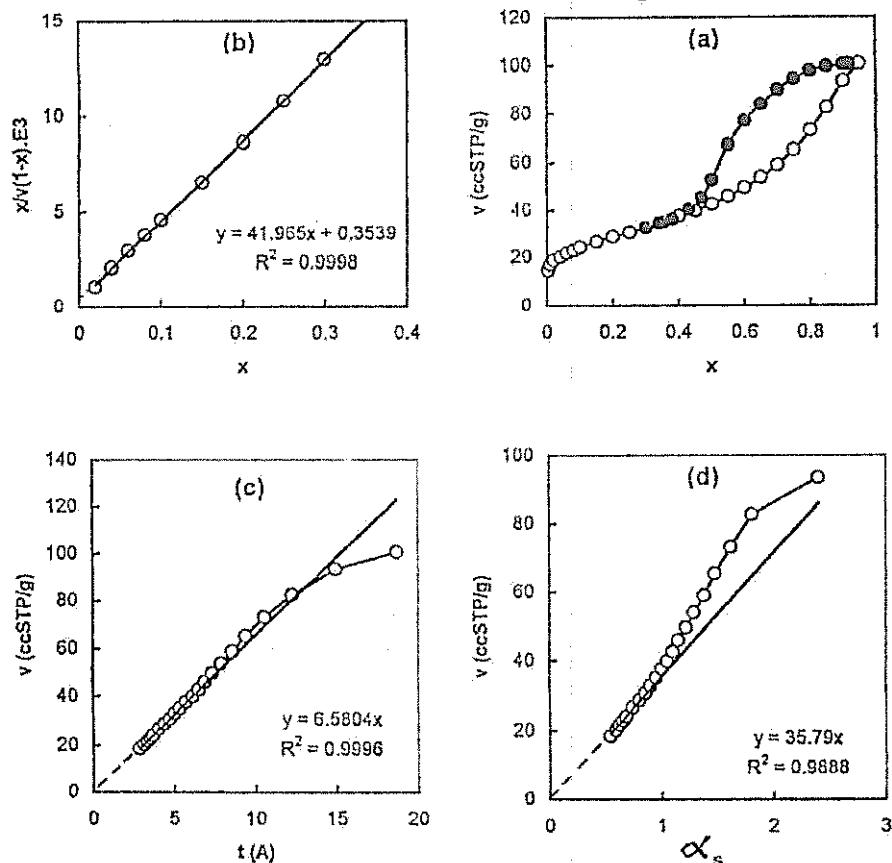
$$C_{\text{BET}} = \frac{m}{i} + 1 = \frac{41.965 \times 10^{-3}}{0.3539 \times 10^{-3}} + 1 = 120$$

$$V_m = \frac{1}{m+i} = \frac{10^3}{41.965 + 0.3539} = 23.63 \text{ ccSTP/g}$$

ومن ثم يكون:  $S_{\text{BET}} = 4.37 V_m = 4.37 \times 23.63 = 103.26 \text{ m}^2/\text{g}$

نرسم منحني  $V-t$  بأخذ قيم  $t$  وفقاً لدلي بور والموضحة في الجدول (3-1)، فنحصل على الشكل (c)، ويلاحظ أن امتداد الخط المستقيم يمر من المبدأ ويكون ميله 6.58 ومن ثم فإن:

$$S_t = 15.47 dV/dt = 15.47 \times 6.58 = 101.8 \text{ m}^2/\text{g}$$



نرسم منحني  $V-\alpha_s$  بأخذ قيمة  $\alpha_s$  وفقاً لبيان والموضحة في الجدول (3-2)، فنحصل على الشكل (d)، ويلاحظ أن امتداد الخط المستقيم يمر من المبدأ وميله

$$S^a = 2.87 \text{ dV/d}\alpha_s = 2.87 \times 35.79 = 102.2 \text{ m}^2/\text{g} = 35.79 \text{ m}^2/\text{g}$$

نجد أن هناك تطابقاً جيداً جداً بين قيم السطح النوعي المعني بالطرائق الثلاث، كما يلاحظ أيضاً من الشكل (d) وجود انحراف واضح عن الخطية نحو الأعلى مما يعني حدوث تكاثف شعري في المسام الانتقالية.



A to Z مكتبة